

一つは純 TiC に近いが、わずかに TiN を固溶したもの (TiC(N)) でその格子常数は大体 $4 \cdot 323 \text{ \AA}$ 程度であり他の一つは TiN と TiC の中間の格子常数を持ち (平均約 $4 \cdot 285 \text{ \AA}$)、TiN に TiC が固溶したと考えられるもの (Ti-cyanonitride) である。また Ti-cyanonitride の格子常数は相当広い範囲にバラツいているが TiN に近い範囲および TiC (N) に近い範囲の格子常数を持つものは存在しないことが判る。

なお回折図における TiC(N) と Ti-cyanonitride のピークの高さから定性的にそれらの存在量を調べた結果 Ti% の低い試料にあつては Ti-cyanonitride の存在量が多く、Ti% の高い試料では TiC(N) の存在量が圧倒的に多いことが明瞭に認められた。これは銑鉄中の Ti がまず Ti-cyanonitride を形成しさらに Ti 含有量が多くなれば TiC(N) を形成することを示すものと考える。

V. 結 言

以上の結果を要約するとつきのとおりである。

(1) 従来発表されている沢村、津田の Ti 形態別分別定量法では、銑鉄中の Ti 化合物の形態を正確に知ることは困難である。

(2) Ti 化合物に特有な色調で顕微鏡を用い銑鉄中の Ti 化合物の形態を知る方法は、技術的に難かしくまた誤りをおかず恐れがある。

(3) X 線回折の結果によれば 1% Ti 以下の含 Ti 純銑鉄中においては約 $4 \cdot 323 \text{ \AA}$ 程度の格子常数を持ち、TiC にわずかに TiN を固溶していると考えられる TiC(N) と TiN と TiC の中間の格子常数を持ち、TiN に相当量 TiC が固溶していると考えられる Ti-cyanonitride の両者が共存することが多い。

(4) Ti-cyanonitride の格子常数は相当広い範囲にバラツいているが、TiN に近い範囲および TiC(N) に近い範囲の格子常数を持つた Ti-cyanonitride は存在しない。

(5) 銑鉄中の Ti% が低い時には Ti-cyanonitride の存在量が多く、Ti% が高くなるにつれて TiC(N) の存在量が増加する。これは Ti-cyanonitride が優先的に生成することを示すものと考える。

(123) 鋳鉄の高温度における各種硫黄ガスによる腐食について

早稲田大学理工学部 中井 弘

On the Corrosion of Cast Iron by the Various Sulphuric Gases at High Temperatures.

Hiroshi Nakai.

I. 緒 言

鋼や鋳鉄の高温度における硫化腐食についての報告は近年各方面で発表せられている。また硫黄蒸気、硫化水素ガス、亜硫酸ガスなどの硫黄ガスといいろいろの金属との反応については古くから多くの研究者によつて報告されている。しかしながら同一金属について系統的に各種硫黄ガスによる腐食を検討したものはほとんど見られない。筆者は鋳鉄の高温度における硫化腐食について研究をつづけているが、今回は S 蒸気、CS₂ 蒸気、H₂S ガスおよび SO₂ ガスによる鋳鉄の腐食について比較検討を加えた。

II. 試料調製および実験方法

試料はキュポラで熔解し、 $32\phi \times 300 \text{ mm}$ の乾燥砂型に鑄込んで作製した。その分析結果をつぎに示す。

Table 1. Chemical composition of cast iron

C %	Si %	Mn %	P %	S %
3.35	1.40	0.36	0.208	0.077

この铸造試料から $25\phi \times 50 \text{ mm}$ の丸棒と $10 \times 10 \times 10 \text{ mm}$ の立方体をつくり、表面をエメリーペーパー 1-0 番まで研磨して硫化試験に供した。

つぎに S 蒸気は蒸溜 S をレトルトに入れ、これを 500°C に加熱して発生せしめた。その際試験室の雰囲気を S 蒸気と置換せしめるために水流ポンプを使用した。CS₂ 蒸気はフラスコに CS₂ を入れ、これを 50°C に保持して発生せしめた。なおこの際放出蒸気はコンデンサーで回収した。H₂S ガスは Kipp 装置の改良型で FeS₂ に稀 H₂SO₄ を加えて発生せしめ、H₂O, CaCl₂, P₂O₅ を通過せしめて試験に使用した。SO₂ ガスは Kipp 装置で CaSO₃ に濃 H₂SO₄ を加えて生成し、これを濃 H₂SO₄, P₂O₅ で乾燥したものを使用した。

ガス流量は S 蒸気 $0.5 l/h$, CS₂ 蒸気 $30 l/h$, H₂S ガス $5 l/h$, SO₂ ガス $5 l/h$ である。

試料はポートにのせてエレマ炉内に挿入した石英管内に静置して試験し、エレマ炉で加熱した。加熱温度は 900°C 一定とし、硫化量は試料の単位表面積当たりの增量

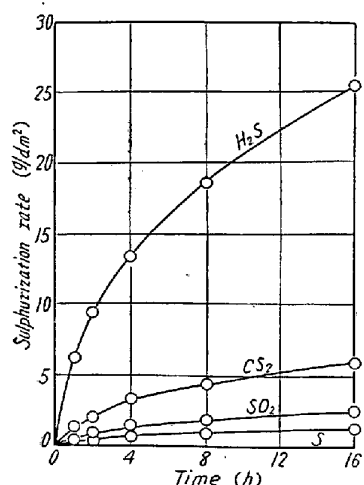


Fig. 1. Relation between time and sulphurization rate.

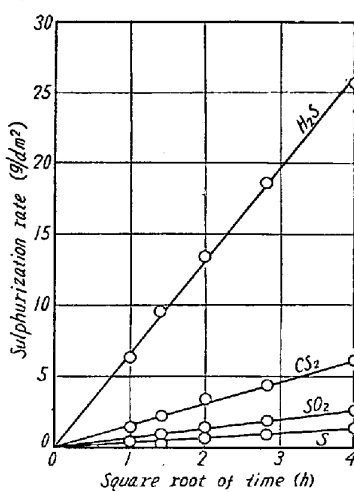


Fig. 2. Relation between square root of time and sulphurization rate.

であらわした。

III. 実験結果およびその考察

鑄鉄を試験温度において S 蒸気, CS₂ 蒸気, H₂S ガスおよび SO₂ ガス中で腐食した時の腐食時間と硫化量との関係は Fig. 1 のごとくである。

硫化量は H₂S ガスによる場合が最も大きく, CS₂ 蒸気, SO₂ ガスがこれにつき, S 蒸気によるものが最も小さい。いずれの場合も腐食量は初期に速かに増加し、時間とともにその速度がゆるやかとなり抛物線に近い形になつてゐる。したがつて加熱時間の平方根と腐食量との関係は直線的となる (Fig. 2)。これらの関係から実験式を求めるときのとくである。

$$\text{S 蒸気: } W^2 = 0.36 \times 10^{-8} t$$

$$\text{CS}_2 \text{ 蒸気: } W^2 = 0.64 \times 10^{-7} t$$

$$\text{H}_2\text{S ガス: } W^2 = 1.15 \times 10^{-6} t$$

$$\text{SO}_2 \text{ ガス: } W^2 = 0.12 \times 10^{-7} t$$

$$W: \text{硫化量 g/cm}^2$$

$$t: \text{硫化時間 s}$$

また金属の硫化腐食は生成する硫化層の形状と関係があると思われる。その意味で硫化層の外観についてふれてみる。S 蒸気による硫化層は暗灰色から黒色に近い色を呈し脆い。CS₂ 蒸気による硫化層は灰色の地に微細な

Table 2. Chemical composition of sulphide outer layer.

Gas	C %	Si %	Mn %	P %	S %
S	—	0.01	0.36	Trace	44.01
CS ₂	0.009	0.07	0.21	“	40.31
H ₂ S	0.005	0.04	0.31	“	36.35
SO ₂	—	0.04	0.33	“	38.22

黄金色の結晶が散在しており非常に脆い。H₂S ガスによるものは灰色がかった黄金色で割合緻密である。SO₂ ガスによるものは灰色ないし暗灰色に近い色を示し表面に凹凸を生じている。

さらに硫化試料を樹脂で固め切断研磨して横断面を顕微鏡で観察してみたが、硫化層の厚さに変化が見られるのみで硫化層の組織にはとくにあげるべき差異が見られなかつた。

つぎに硫化層の組成を調査するため 25φ × 50 mm の試料を 900°C において各硫黄ガス気流中で 10 h 硫化せしめ、その硫化被膜外層部を分析してつぎのごとき結果を得た。

いずれの場合も硫化被膜外層には Fe 以外の元素は Mn, Si を除いて非常に僅少である。これらの値から外層部の組成を計算すると、S 蒸気の場合は FeS_{1.37}, CS₂ 蒸気 FeS_{1.18}, H₂S ガス FeS_{1.00}, SO₂ ガス FeS_{1.08} となる。どの値も化学量論的組成よりも過剰の S を含む Pyrrhotite Fe_{1-x}S であるが、とくに S 蒸気の場合に過剰の S が多く、CS₂ 蒸気, SO₂ ガスの場合がこれにつき、H₂S ガスによる場合が最も少ない。

IV. 結 言

鑄鉄の高温度における S 蒸気, CS₂ 蒸気, H₂S ガスおよび SO₂ ガスによる腐食について調査し、つぎのごとき結論を得た。

1) 実験範囲では H₂S ガスによる腐食が最もはげしく、CS₂ 蒸気, SO₂ ガスがこれにつき、S 蒸気による場合が最も腐食が少ない。

2) 加熱時間と硫化量との間には抛物線法則が成立し、つぎの実験式が得られた。

$$\text{S 蒸気: } W^2 = 0.36 \times 10^{-8} t$$

$$\text{CS}_2 \text{ 蒸気: } W^2 = 0.64 \times 10^{-7} t$$

$$\text{H}_2\text{S ガス: } W^2 = 1.15 \times 10^{-6} t$$

$$\text{SO}_2 \text{ ガス: } W^2 = 0.12 \times 10^{-7} t$$

3) 硫化被膜は pyrrhotite Fe_{1-x}S からなり、被膜外層には Mn が多量に拡散し、Si も一部拡散している。外層の組成はつぎのごとくであつた。

$$\text{S 蒸気: } \text{FeS}_{1.37}$$

$$\text{CS}_2 \text{ 蒸気: } \text{FeS}_{1.18}$$

$$\text{H}_2\text{S ガス: } \text{FeS}_{1.00}$$

$$\text{SO}_2 \text{ ガス: } \text{FeS}_{1.08}$$